

Πρακτικά	4ου Συνέδριου	Μάϊος 1988
Δελτ. Ελλ. Γεωλ. Εταιρ.	Τομ. XXIII/2 Vol.	σελ. 473-486 pag.
Bull. Geol. Soc. Greece		Αθήνα 1989 Athens

ΟΡΥΚΤΟΛΟΓΙΚΗ ΚΑΙ ΠΕΤΡΟΓΡΑΦΙΚΗ ΜΕΛΕΤΗ ΔΕΙΓΜΑΤΩΝ ΓΕΩΤΡΗΣΗΣ N₂ ΑΠΟ ΤΟ ΓΕΩΘΕΡΜΙΚΟ ΠΕΔΙΟ ΤΗΣ ΝΙΣΥΡΟΥ

Θ. ΜΑΡΚΟΠΟΥΛΟΥ*, Α. ΚΑΤΕΡΙΝΟΠΟΥΛΟΥ**, Γ. ΧΡΙΣΤΙΔΗ**

A B S T R A C T

Rocks occurring in the subsurface area of Nisyros island are studied from mineralogical and petrological point of view. From this study it is concluded that the extended hydrothermal field developed in Nisyros caused alteration zones which change with depth.

ΣΥΝΟΨΗ

Τα πετρώματα που απαντούν στο υπόβαθρο της Νίσυρου μελετώνται από ορυκτολογική και πετρολογική άποψη. Από τα παραπάνω συμπερίνεται ότι το εκτεταμένο υδροθερμικό σύστημα που έχει αναπτυχθεί στη Νίσυρο, έχει δημιουργήσει ζώνες εξαλλοίωσης που μεταβάλλονται με το βάθος και τη θερμοκρασία.

1. ΕΙΣΑΓΩΓΗ

Η Νίσυρος είναι ένα από τα νησιά του αρχαιελάγους των Δωδεκανήσων. Αποτελεί το κέντρο των ηφαιστειακών νησιών Γυαλί, Στρογγυλή, Πακετά, Περιγούσα και Κανδελιούσα. Έχει σχήμα κόλουρου κώνου με περίμετρο βάσης περίπου 25km και επιφανειακή έκταση 41,4km². Παρουσιάζει απότομα ανάγλυφα (Προφήτης Ηλίας, Άγ. Γεώργιος, Αγ. Ιωάννης) ανάμεσα στα οποία έχει δημιουργηθεί βύθισμα με διάμετρο 4km, στο νότιο τμήμα του οποίου υπάρχουν 5 φρεατοειδείς κρατήρες.

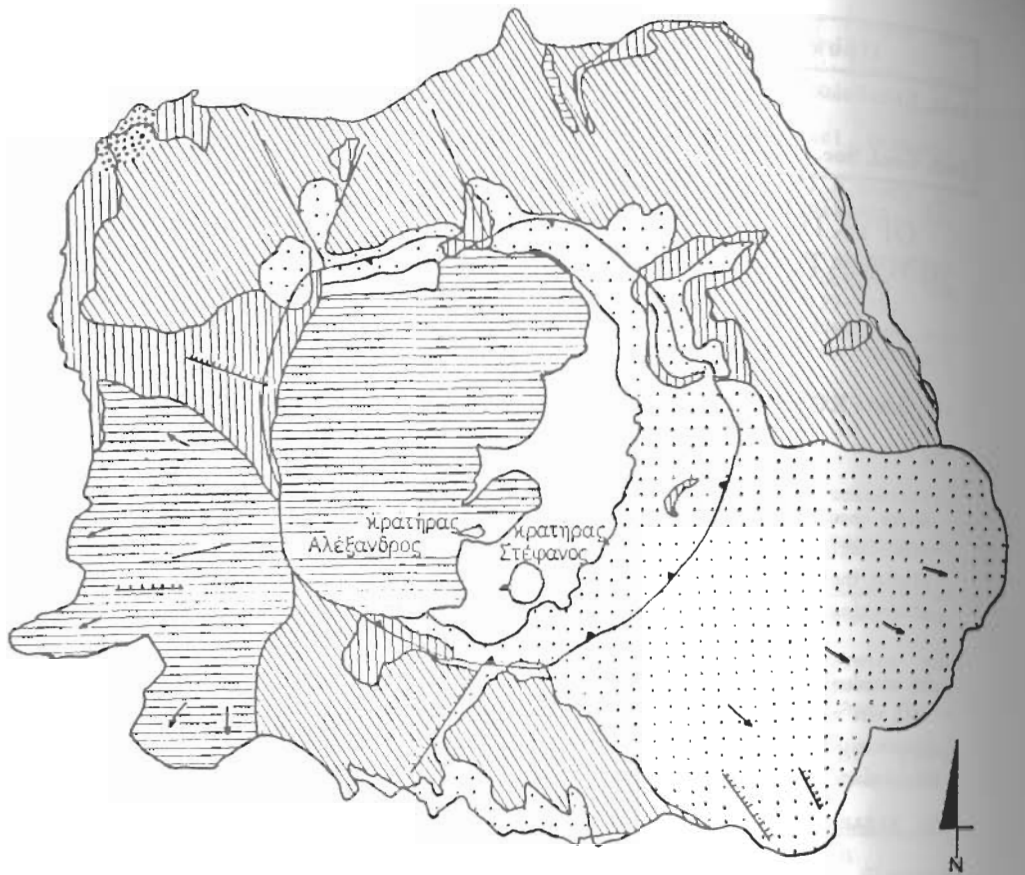
Τα πετρώματα που δομούν το ηφαιστειακό υγρό της Νίσυρου έχουν μελετηθεί από διάφορους ερευνητές (BOFARALIS, 1950, DAVIS, 1967, PECKETT 1969, DI PAOLA 1974, KANAPIS 1976, ΜΑΡΚΟΠΟΥΛΟΣ Κ. άλ. οι 1986, MITROPOULOS et al. 1987) (Σχ.1).

Οι ερευνητές αυτοί έδωσαν σειρά στοιχείων για την ορυκτολογία, πετρολογία και γεωχημεία των εικιφανειακών λαβών, των πυροκλασ-

Τ. MARKOPOULOS, A. KATERINOPoulos, G. CHRISTIDIS-Mineralogical and petrographic study of samples from the N2 drill in the geothermal emanation field of Nisyros island.

* ΠΟΛΥΤΕΧΝΕΙΟ ΚΡΗΤΗΣ, ΤΜΗΜΑ ΜΗΧΑΝΙΚΩΝ ΟΡΥΚΤΩΝ ΠΟΡΩΝ, ΕΛ.Βενιζέλου 127, 73133 ΧΑΝΙΑ.

** ΓΕΩΛΟΓΙΚΟ ΤΜΗΜΑ ΕΠΙΧΕΙΡΗΣΗΣ ΘΕΡΜΟΦΡΑΣΤΩΣ/ΠΤΥΜΑ ΓΕΩΛΟΓΙΑΣ, Α.Π.Θ. ΛΘΗΝΑ



- Άλλουβια και κορρήματα
- Λάβες (μετα την δημιουργία της καλδέρας)
- Κιοσηρις και Πυροκλαστικά υλικά (όξινα και βασικά.)
- Ρεύματα λάβας (βακίτες - ανδεσίτες)
- Ρεύματα και φλέβες λαβών (ανδεσίτες) - Σκωρίες - Pillow-lavae

Σχήμα 1 . Γεωλογικός χάρτης της Νίσυρου
Figure 1. Geological map of Nisyros island

Ψηφιακή Βιβλιοθήκη "Θεόφραστος" - Τμήμα Γεωλογίας. Α.Π.Θ.

στικών υλικών και των προϊόντων εξαλλοίωσής τους, ενώ για τα πετρώματα του υπεδάφους υπάρχουν απλώς πετρογραφικές αναφορές.

Ειδικότερα στην έκθεση της εταιρίας Geothermica Italiana αναφέρονται επιγραμματικά τα πετρολογικά χαρακτηριστικά της στήλης των πετρωμάτων που διέτροπε η Ν2 καθώς και ορισμένα στοιχεία για τις εξαλλούσεις που βασίζονται μόνο σε μικροσκοπική παρατήρηση και τα οποία ιεν συμφωνούν με τα αποτελέσματα αυτής της εργασίας.

Με τη μελέτη αυτή προσδιορίζεται η ορυκτολογική και πετρολογική σύσταση των σχηματισμών που βιέσχεται η γεώτρηση Ν2 της ΔΕΗ. Τα δείγματα μας παρακωθήθηκαν από τη διεύθυνση Υεωθερμίας της ΔΕΗ.

ΓΕΩΛΟΓΙΑ - ΕΞΕΛΙΞΗ ΤΟΥ ΗΦΑΙΣΤΕΙΟΥ

Το ηφαίστειο της Νίσυρου ανήκει στο ηφαιστειακό τόξο του νοτίου Αιγαίου. Η ηφαιστειακή δραστηριότητα συνεχίζεται μέχρι σήμερα με τη μορφή ατμίδων σε διάφορες θέσεις του τόξου (Σουσάνι, Σαντορίνη, Μήλος, Νίσυρος) (Σχ. 2).

Η ηφαιστειακή δράση στο τόξο του νοτίου Αιγαίου άρχισε πριν 3 εκ. χρόνια περίπου και είχε σαν αποτέλεσμα την έκχυση λαβών με σύσταση που υποδινετάται από βασάλτες με υψηλή περιεντιότητα σε αργίλιο έως ρυδόλιθους, με ενδιάμεσα μέλη ανδεσίτες, βακίτες και ρυοδακίτες, καθώς επίσης και την εκτίναξη πυροκλαστικών υλικών, με σύσταση παρόμοια αυτης των λαβών (INNOCENTI et al 1979).

Το ηφαίστειο της Νίσυρου χαρακτηρίζεται από το DI PAOLA(1974) σαν στρωματοηφαίστειο (stratovolcano). Διακρίνονται δύο περίοδοι ηφαιστειακής δράσης που άρχισαν με βασικό μαγματισμό και τελείωσαν με την εκδήλωση όξινου μαγματισμού (DAVIS 1967, DI PAOLA 1974). Το τέλος της πρώτης περιόδου, η οποία σύμφωνα με το DI PAOLA χαρακτηρίζεται από την εκδήλωση αρχικά υποθαλάσσιας και στη συνέχεια επιφανειακής ηφαιστειότητας, συνοδεύεται από τη δημιουργία ενός μεγάλου βυθίσματος, τύπου καλδέρας, στο κέντρο του νησιού.

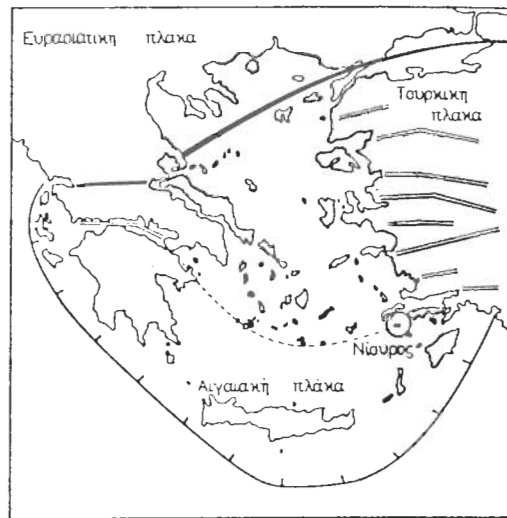
ΟΡΥΚΤΟΛΟΓΙΑ - ΠΕΤΡΟΛΟΓΙΑ ΤΩΝ ΣΧΗΜΑΤΙΣΜΩΝ

Η πετρογραφική μελέτη των δειγμάτων μας επιτρέπει να διακρίνουμε δύο κύριες πετρολογικές ενότητες:

i. Τη σειρά των τόφων-λαβών η οποία αναπτύσσεται από την επιφάνεια μέχρι τα 1100 μέτρα.

ii. Τη σειρά των κερατιτών. Πρόκειται για τα πετρώματα που έχουν προέλθει από μεταφόρωση επαφής (1100-1547μ).

Όλη η στήλη των πετρωμάτων είναι έντονα εξαλλοιωμένη και χαρακτηρίζεται από την ύπαρξη μιας μεγάλης ποικιλίας βευτερογενών θρυητών εξαλλοίωσης (Σχ.3).



Σχήμα 2. Γεωτεκτονική θέση της Νισύρου στο ηφαιστειακό τόξο της Νοτίου Αιγαίου.

Figure 2. Geotectonic setting of Nisyros island in the South Aegean volcanic arc.

500 1000 1500

ΚΑΙΛΙΝΙΤΗΣ	-----		
ΜΟΝΤΜΟΡΙΛΛΟΝΙΤΗΣ	-		
ΙΑΛΙΤΗΣ		-----	
ΧΑΛΩΡΙΤΗΣ-ΜΟΝΤΜΟΡΙΑ	-----		
ΧΑΛΩΡΙΤΗΣ		-----	
ΣΕΡΙΚΙΤΗΣ		-----	
ΑΝΘΡΑΚΙΚΑ		-----	-
ΑΝΥΔΡΙΤΗΣ	-----		-----
ΓΥΨΟΣ	-----		
ΒΑΣΣΑΝΙΤΗΣ			
ΑΛΟΥΝΙΤΗΣ	-----		
ΧΑΛΑΖΙΑΣ-ΧΑΛΚΗΔΟΝ	-----		
ΟΠΑΛΙΟΣ C-T	-----		
ΑΛΒΙΤΗΣ		-----	-
ΕΠΙΔΟΤΟ		-----	-
ΣΙΔΗΡΟΠΥΡΙΤΗΣ	-----		-

Σχήμα 3. Ορυκτά εξαλλοίωσης στο υδροθερμικό πεδίο της Νισύρου
Ψηφιακή Βιβλιοθήκη "Θεόφραστος" - Τμήμα Γεωλογίας. Α.Π.Θ.

ΣΕΙΡΑ ΤΟΦΦΩΝ - ΛΑΒΩΝ

Αποτελεί το μεγαλύτερο έμπλημα της γεώτρησης και παρουσιάζεται έντονα εξαλλοιωμένη (μέχρι τα 1100 μ. περίπου). Οι τόφφοι παρουσιάζονται σε μεγαλύτερο ποσοστό από τις λάβες.

Η λιθολογική στήλη χαρακτηρίζεται από την εναλλαγή βακιτανθρεστικού και ανδεσιτικού υλικού. Η σύσταση αυτή χαρακτηρίζεται τόσο τους τόφφους όσο και τις λάβες.

Ο τρόπος δειγματοληψίας (θραύσματα πετρωμάτων από κρουστικό γεωτρύπανο και όχι πυρηνοληψία) δεν επιτρέπει την ακριβή τοποθέτηση των οριζόντων λαβών και πυροκλαστικών υλικών σε ουνάρτηση με το βάθος.

Οι τόφφοι περιέχουν κρυσταλλικό υλικό, ενώ η υελώδης μάζα έχει αφυελωθεί σε μεγάλο ποσοστό. Σε πολλές θέσεις προσδιορίστηκαν εκτός από κρυστάλλους ορυκτών και τεμάχια λάβας που περικλείονται στην κύρια μάζα. Σύμφωνα με την ταξινόμηση κατά FISHER (1983) χαρακτηρίζονται σαν λαπιττικοί τόφφοι. Η κύρια μάζα είναι συνήθως αφανιτική ενώ σε λίγες περιπτώσεις διακρίθηκαν πρισματικοί κρύσταλλοι αστρίων και καλαζία. Στα ψηλότερα τμήματα της στήλης (βάθη μικρότερα των 150μ.) προσδιορίστηκε οπάλιος C-T. Όπου το γυαλί έχει αφυελωθεί έχει δημιουργηθεί καλκηδόνιος, με χαρακτηριστικές ινώδεις μορφές, αργιτικά ορυκτά, σερινίτης και άστριοι.

Οι κρύσταλλοι που προσδιορίστηκαν στους τόφφους είναι καλαζίας και πλαγιοκλαστά. Ο καλαζίας εμφανίζεται με ποικιλία μορφών από αλλοτριόμορφος έως σχεδόν ιεδόμορφος με επαύξηση των ορίων του. Γενικά, επικρατούν σε αλλοτριόμορφοι κρύσταλλοι. Τα πλαγιοκλαστά είναι συχνά ζωνώδη και η σύστασή τους κυμαίνεται από λαβραδόριο έως ολιγόκλαστο. Η υδροθερμική δράση έχει προκαλέσει εξαλλοίωση των πλαγιοκλαστών και των φεμικών συστατικών. Τα πλαγιοκλαστά έχουν αντικατασταθεί από ανυδρίτη, γύψο, ασβεστίτη, βασσανίτη, σερινίτη, επίδοτο, αργιτικά ορυκτά (ιαλίτη) και πιθανώς από αλουνίτη. Τα σιδηρομαγνησιούχα ορυκτά έχουν αντικατασταθεί πλήρως από κλωρίτη, αργιτικά ορυκτά σύστασης κλωρίτη-μοντμοριλόνιτη, σιδηροπυρίτη και οξείδια σιδήρου.

Η σύσταση των λαβών είναι κυρίως ανδεσιτική και σε λίγες θέσεις βακιτική.

Οι ανδεσίτες εμφανίζουν πορφυρική δομή με κύρια μάζα από πρισματικούς κρυστάλλους πλαγιοκλαστών που πολύ συχνά παρουσιάζουν παράλληλο προσανατολισμό (ρευστική δομή). Σποραδικά στην κύρια μάζα εμφανίζεται ζιρκόνιο. Οι φαινοκρύσταλλοι είναι απο-

λειτουργικά ιδιόμορφα=υπεύθυνά μορφα τηλεγιόλαστα με σύσταση λαβραδός ριου έως αλειγόλαστου, που κατά τόπους σχηματίζουν συσσωματώματα (γλυμεροπορφυρική δομή). Συχνή είναι η εμφάνιση ζώνωσης, καθώς και διέθυντιν, απλών (karlsbad) και σύνθετων (νόμος αλβίτη). Επίσης απαντά και συγδιασμός του νόμου του αλβίτη και του περικλίνη.

Οι λάβες, όμοια με τους ανδεσοίτες εμφανίζουν πορφυρική βραχιόλη μή με κύρια μάζα που αποτελείται από άμορφο υλικό (ύελος) και διεύρυντη (lath-like) πλαγιόλαστα, και φαινονκριστάλλους ή επιδιέργαστη πλαγιόλαστα, και χαλασία. Τα πλαγιόλαστα παρουσιάζουν παρόμοια χαρακτηριστικά με αυτά των ανδεσιτών.

Τα ορυκτά εξαλλοίωσης που εμφανίζονται στις λάβες είναι παρόμοια με αυτά που παρουσιάζονται στους τόφους.

ΣΕΙΡΑ ΥΠΟΦΑΙΩΣΤΕΑΚΩΝ ΠΕΤΡΩΜΑΤΩΝ ΚΑΙ ΚΕΡΑΤΙΤΩΝ

Η σειρά αυτή αρχίζει από το βάθος των 1100μ. και φτάνει μέχρι το τέλος της γεώτρησης (1547μ). Διαιρίνονται δύο τμήματα:

1. Το ανώτερο, που χαρακτηρίζεται από εναλλαγές υποφαιωστειακών πετρωμάτων διεριτικής-χαλαζιοδιεριτικής σύστασης, καθώς και πετρωμάτων που δημιουργήθηκαν από μεταμόρφωση επαφής (κερατίτες) που φτάνει μέχρι το βάθος των 1380 μ. περίπου. Κατά τόπους παρατηρήθηκαν λάβες ανδεσιτικής σύστασης.

Οι λάβες αυτές παρουσιάζουν ιστό και ορυκτολογική σύσταση όμοια με τις βασαλτανδεσιτικές λάβες που χαρακτηρίζονται από τον DI PAOLA (1974) σαν τα πρώτα υλικά ηφαιστειακών εικύσεων στη Νίσυρο, τα οποία εμφανίζονται Ν Α του Μανδρακίου.

2. Το κατώτερο, με ομοιόμορφη σύσταση που γιαρακήριζεται από έντονη εξαλλοίωση, έτσι ώστε να μην είναι δυνατό να αναγνωρισθούν χαρακτηριστικά του αρχικού πετρώματος με βεβαιότητα (από τα 1530 μ. περίπου).

Η σποραδική παρουσία λιγύτερο εξαλλοιωμένων θραυσμάτων κερατίτη και υποφαιωστειακών πετρωμάτων διεριτικής-χαλαζιοδιεριτικής σύστασης αποτελεί ένδειξη για την αρχική σύσταση των πετρωμάτων.

Σε βάθος 1547 μ. εμφανίζεται πάλι ο κερατίτης του ανωτέρω τμήματος:

Το ανώτερο ίματα παρουσιάζει τα εξής χαρακτηριστικά:

α) Μεγάλη συμμετοχή ασβεστίτη, σε συσσωματώματα με πολυγωνικό συνήθως ιστό, καθώς επίσης και ασβεστοπυριτικών ορυκτών, διέψιδιος, τρεμολίτης, πλεροφορικός-γρανάτης, επίδοτο.

β) Παρουσία σε όλα τα βάθη και των τριών πετρογραφικών τύπων.

τ) Εξαλλοίωση κατ' οργανισμόντας θευτερογενών ορυκτών σε δίκους τους πετρογραφικούς τύπους.

Οι κερατίτες έχουν σαν κύριο ορυκτολογικό συστατικό τον ηλινθορέσινο που σε πολλές θέσεις εμφανίζεται εξαλλοιωμένος. Απόντούν επίσης: γρανάτης, πλαγιέριλαστο, αμφίβολος, επίδοτο, ασβεστίτης, καλασία, τιτανίτης κατά ασιαφανή ορυκτά. Δευτερογενή ορυκτά από εξαλλοίωση είναι ο χλωρίτης, ο ασβεστίτης, ο αλβίτης, ο καλασίας και ο σιδηροπυρίτης.

Οι προστερισμοί των ορυκτών έγιναν με βάση τα οπτικά τους χαρακτηριστικά καθώς και τις αντίστοιχες αγαλλάσεις σε αντινογραφήματα υλικού εμπλουτισμένου σε φεμικά ή λευκαλιθρατικά συστατικά αντίστοιχα.

Οι πυρόξενοι έχουν σύσταση διοφίδιου. Εμφανίζονται είτε με τη μονοορυκτολογικών συσσωματώματα με γρανοβλαστικά ιστό, είτε σπανιότερα σε μεμονωμένους ιρυστάλλους σε σύμφυση κυρίως με γρανάτη. Κατά τόπους εμφανίζουν πολυδυνίες. Αντικαθίστανται από χλωρίτη, κατά κύριο λόγο, καθώς επίσης από ασβεστίτη, τιτανίτη και χαλασία.

Οι αμφίβολοι ανήκουν στη σειρά τεμνόχλετη-ακτευθύλαχθι. Πρόκειται με τη μορφή λεισμορφών ιρυστάλλων με ενάπεπενη παράλληλα στον άξονα C. Συχνά εμφανίζουν θετική.

Οι γρανάτες είναι ασβεστούχει με σύγχρονη γροθεσουλάρεου-ανδραδίτη. Εμφανίζονται είτε σε μονοορυκτολογικά συσσωματώματα με πολυυψηλό ιστό είτε σε μεμονωμένους ιρυστάλλους συνθετικές ενσύνοια από πυρσίνιο και χαλαζία. Αυτέκανθισταντείται ήδη διέσπειτε από ασβεστίτη.

Το επίδοτο εμφανίζεται σε δύο γενεσές. Η πρώτη είναι πρώτης γενεσές από πλαστικό σε πιεστεριτικό μέριθο έργως φακίνεται από την έντονα κράματα πόλωσης. Οι κερύσταλλοι παραπομπές συνάντησης βιομορφήσεων (επιθέμορφων μέρκετος πλάστερθέμορφων) και εμφανίζουν έντονες σταφορές στο διαθέματος ιρυστάλλους σε σχέση με το αντίστοιχο επίδοτο της σειράς ιόφρου λαζαρίτη. Η γενεσή της δεύτερης γενεάς αγτικεραθίστερης πλαγιόλαστα.

Το πλαγιόλαστα που έκριναν σύσταση λαβραδόριου αντικαθίστανται από ασβεστίτης ή από ασβεστίτη και αλβίτη. Στιάντα εμφανίζουν σινημένες.

Ο περισσότερης εμφανίζεται με τη μορφή καλά σκηνικές επιφάνειας πρωθτάλλων με διπλό σχισμή, (πρωτη γενεά) είτε με τη μορφή αλαζοθέμορφων ιρυστάλλων χωριστάλλων χωριστό, που αντικαθίστανται γρανάτη

πλαγιοκλαστά και σπανιότερα πυρόξενο (δεύτερη γενεά).

Κατά τόπους σχηματίζεται συσσωματώματα με γρανοβλαστικό ιστό.

Ο χαλαζίας εμφανίζεται μάζι με πυρόξενο και γρανάτη σε κοινώδη συσσωματώματα με πολυγωνικό ιστό, (πιρώτη γενεά ή σε φλεβίσια (δεύτερη γενεά)).

Ο τιτανίτης εμφανίζεται με τη μορφή υπιδιόμορφων έως αλλοτριόμορφων κρυστάλλων.

Ο χλωρίτης είναι αλλοτριόμορφος και απαντά σαν δευτερογενές ορυκτό σε αντικατάσταση πυροξένου.

Οι ιστοί που ειπειρατούν στους κερατίτες είναι τριών τύπων:

α) πολυγωνικός ιστός, κυρίως εκεί όπου έχουμε μονοορυκτολογικές συγκεντρώσεις.

β) εμπλεκτικούς ιστούς, όπου στα όρια των ορυκτών σχηματίζονται εγκοιλιώσεις και αλληλοδιεισδύσεις, και

γ) Ιστούς αντικατάστασης, όπου τα πρωτογενή ορυκτά αντικαθίστανται από προϊόντα εξαλλοίωσης.

Τα υποηφαιστειακά πετρώματα χαρακτηρίστηκαν σαν διορίτες ως χαλαζιακοί διορίτες, ανάλογα με την παρουσία ή όχι του χαλαζία. Κύρια ορυκτολογικά συστατικά είναι το πλαγιόκλαστο και ο αμφίβολος, δευτερεύον ο πυρόξενος, ενώ επουσιώδη είναι η σφήνα το ζιρκόνιο, και τα αδιαφανή.

Δευτερογενή ορυκτά εξαλλοίωσης των διοριτών-χαλαζιακών διορίτων είναι ο χλωρίτης, το επίδοτο, ο αλβίτης και ο ασβεστίτης. Εμφανίζουν τα πλαγιόκλαστα έχουν σύσταση λαβραδόριου έως ανδεσίνη. Εμφανίζονται είτε με ζώνωση και σύνθετη διεύμητη (νόμος αλβίτη). Εμφανίζονται είτε με τη μορφή μικρών μακροπρισματικών διιόμορφων κρυστάλλων οι οποίοι συμμετέχουν στον οφειτικό ιστό, που εμφανίζεται κατά τόπους, είτε με τη μορφή μεγαλύτερων υπιδιόμορφων ζωνωδών κρυστάλλων, που εμφανίζουν σε πολλές θέσεις διεύμητη αλβιτικού νόμου, επαναλαμβανόμενη.

Οι αμφίβολοι είναι κεροστίλβες με κρυστάλλους κυρίως μακροπρισματικούς και σπάνια βραχυπρισματικούς.

Οι πυρόξενοι είναι κλινοπυρόξενοι με βραχυπρισματικούς κρυστάλλους που κατά τόπους εμφανίζουν πολυθυμίες.

Παρατηρήση τρεις τύποι ιστών:

α) Οφειτικός ιστός από πλέγμα πλαγιοκλάστων που συμπληρώνεται από τα σιδηρομαγνησιούκα ορυκτά.

β) Κοινώδης ιστός με ευμεγένεις κρυστάλλους λαβραδόριου και

αμφίβολου.

Το σχετικό μέγεθος των διαφόρων ορυκτών δεν υπερβαίνει το 1:10 (ισοκονικότης).

γ) Ιστοί από αντικατάσταση

Οι λάβες έχουν σύσταση ανδεσιτική. Χαρακτηρίζονται από πορφυρικό ιστό με ήρια μάζα από δοκιδόμορφα (lath-like) πλαγιόκλαστα που εμφανίζουν ρευστικά χαρακτηριστικά. Οι φαινοκρύσταλλοι που κατά πλειοψηφία είναι πλαγιόκλαστα και σπάνια κλινοπυρόξενοι εμφανίζονται διιόμορφοι έως υπιδιόμορφοι. Τα πλαγιόκλαστα εμφανίζουν συχνά πολυδιμίες κατά τον αλβιτικό νόμο ή διεύμητης karlsbad. Ορυκτά εξαλλοίωσης των λαβών είναι το επίδοτο, ο χλωρίτης, ο ασβεστίτης και ο αλβίτης.

Το κατώτερο τμήμα της σειράς υποηφαιστειακών πετρωμάτων και κερατίτων χαρακτηρίζεται από έντονη εξαλλοίωση. Σε λίγα σημεία παρατηρήθηκαν ίκοικοι πετρωμάτων με υπολλείματα οφειτικού και πορφυρικού ιστού, που δεν επαρκούν για τον ακριβή προσδιορισμό της αρχικής πετρολογικής σύστασης. Τα δευτερογενή ορυκτά που προσδιορίστηκαν είναι χαλαζίας, χλωρίτης, σερικίτης, ανυδρίτης, ασβεστίτης και αδιαφανή, δηλαδή το τμήμα αυτό χαρακτηρίζεται από σερικιτική πυριτική-χλωριτική εξαλλοίωση.

ΣΥΖΗΤΗΣΗ

Οι πετρογραφικοί τύποι που διαπιστώθηκαν κατά τη μικροσκοπική μελέτη είναι: λάβες, τόφφοι, κερατίτες και υποηφαιστίτες. Οι εναλλαγές τόφφων και λαβών εκτείνονται από την επιφάνεια μέχρι το βάθος των 1100 μέτρων. Σε μεγαλύτερα βάθη απαντούν υποηφαιστειακά πετρώματα χαλαζιακής-χαλαζιοδιοριτικής σύστασης και κερατίτες.

Μέσα σε αυτά τα πετρώματα έχει αναπτυχθεί ένα εικετεαμένο υδροθερμικό σύστημα το οποίο κυκλοφορεί, ανακυκλώνεται και τα εξαλλοίωνται. Το σύστημα τροφοδοτείται από θαλασσινό νερό, που περνά μέσα από τα ανθρακικά πετρώματα τα οποία αποτελούν το υπόβαθρο. Η διέλευση διευκολύνεται από τις διακλάσεις και τα μικρορήγματα που χαρακτηρίζουν τους ανθρακικούς σχηματισμούς. Απόδειξη της κυκλοφορίας του θαλασσινού νερού στο ασβεστολιθικό υπόβαθρο, είναι η ύπαρξη ανυδρίτη και γύψου σε μικροδιακλάσεις-μικροδιαρρήξεις του ασβεστολίθου.

Η κυκλοφορία του υδροθερμικού συστήματος φθάνει μέχρι το βάθος των 1520 μέτρων τουλάχιστον, όπως αποδεικνύεται από την ύπαρξη ανυδρίτη και άλλων δευτερογενών ορυκτών σε αυτό το τμήμα της στήλης.

Οι εξαλλοιώσεις που παρατηρήθηκαν είναι δυνατό να ταξινομηθούν σε ζώνες με βάση την παρουσία χαρακτηριστικών ορυκτών εξαλλοιώσεων:

Οι ζώνες εξαλλοιώσεων που παρουσιάζονται στο σχήμα 4, είναι:

- a) Ζώνη με αλουνίτη + ανυδρίτη + σιδηροπυρίτη + οπάλιο C-T+
γύψο και καολινίτη, που εκτείνεται από την επιφάνεια μέχρι το βάθος των 150 μέτρων του λάχιστον. Η υδροθερμική δράση έχει προκαλέσει πλήρη εξαλλοιώση του αρχικού υλικού και αντικατάσταση των πρωτογενών ορυκτοθεγικών συστατικών.
- b) Ζώνη με μοντμοριλλονίτη, που αναπτύσσεται από τα 210 ως τα 220 μέτρα. Κύριο ορυκτό είναι ο μοντμοριλλονίτης ο οποίος συνοδεύεται από ανυδρίτη, γύψο, καλαζία και σιδηροπυρίτη.

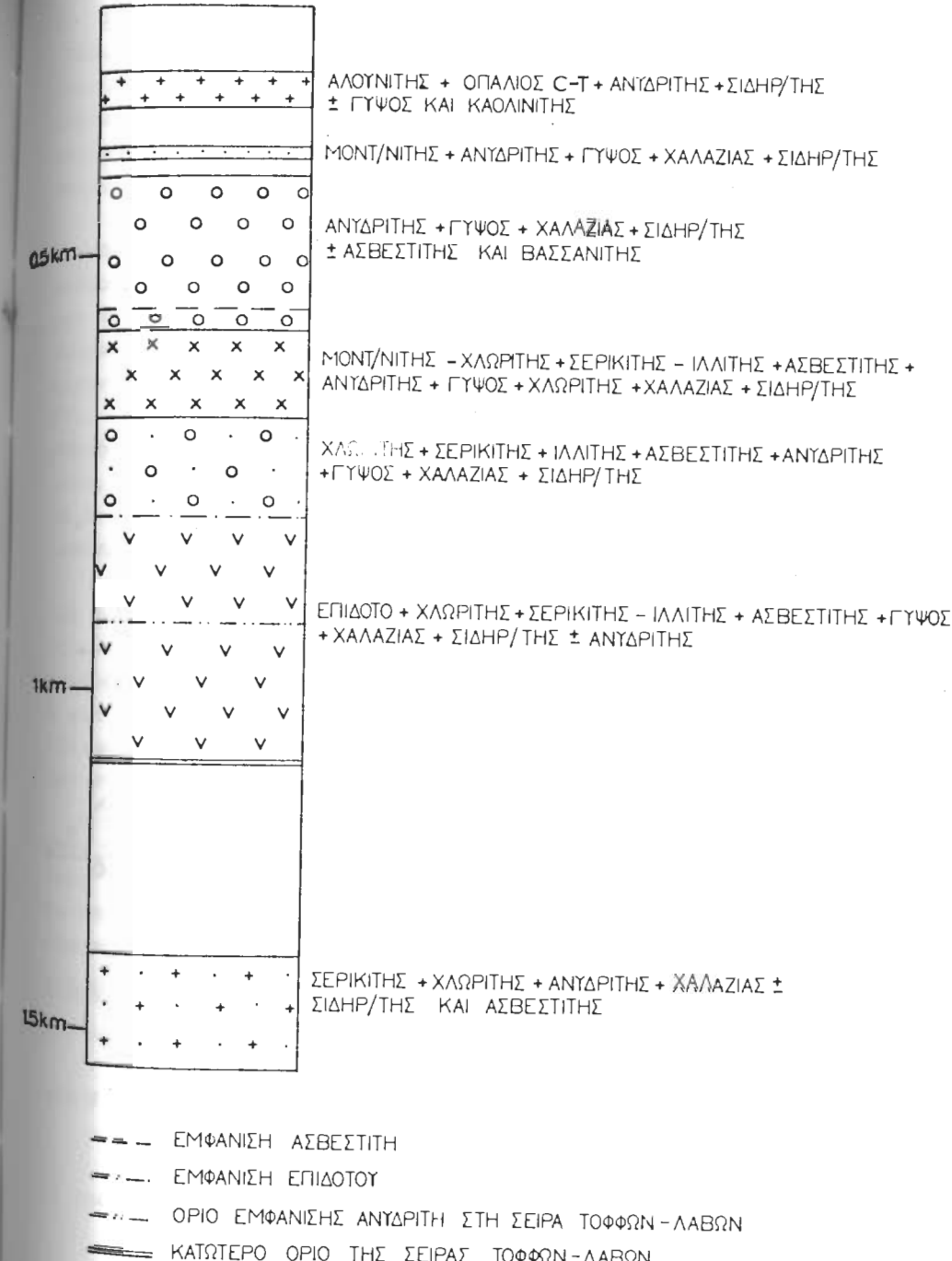
γ) Ζώνη θειϊκών ορυκτών του ασβεστίου, με ανυδρίτη, γύψο και βασανίτη που αναπτύσσεται από τα 250 μέτρα περίπου και φτάνει μέχρι τα 470-480 μέτρα. Στα 400 μέτρα εμφανίζεται μικτή άργιλος ατελώς κρυσταλλωμένη και σε μικρή ποσότητα, έτσι ώστε να μη θεωρείται χαρακτηριστικό ορυκτό της ζώνης. Στα 450 μέτρα περίπου παρουσιάζεται για πρώτη φορά ασβεστίτης.

δ) Ζώνη μεικτής άργιλου μοντμοριλλονίτη-χλωρίτη, ιλλίτη και σερικίτη, που εκτείνεται από τα 480 ως τα 600 μέτρα. Χαρακτηριστικό της ζώνης αυτής είναι η βαθιταλαία αύξηση της συγκέντρωσης του χλωρίτη στη σύσταση της μεικτής άργιλου με αντίστοιχη ελάττωση του μοντμοριλλονίτη, που εξαφανίζεται σε βάθος 600 μέτρων. Τη μεικτή άργιλο συνοδεύουν τα ορυκτά σερικίτης, ιλλίτης και σε μικρότερα ποσοστά ασβεστίτης, ανυδρίτης, γύψος, καλαζίας και σιδηροπυρίτης.

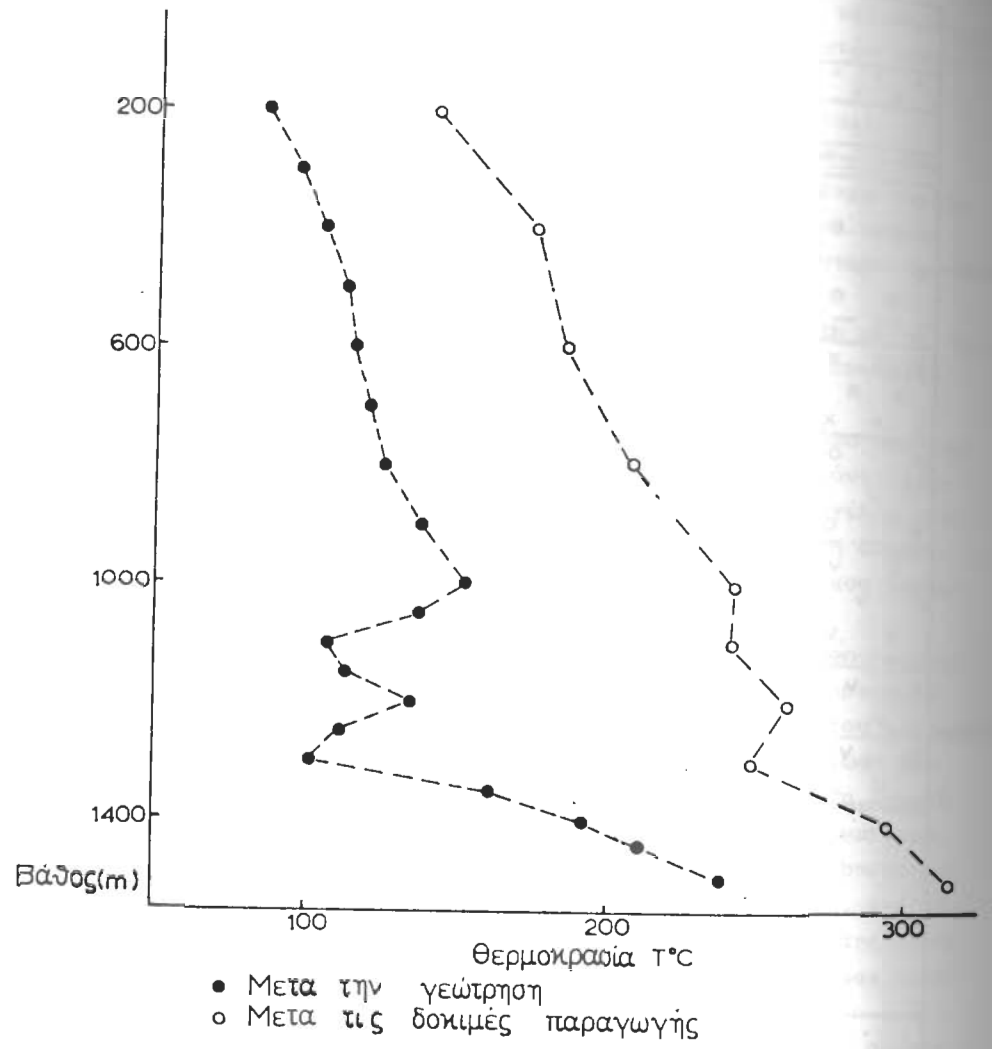
ε) Ζώνη χλωρίτη, σερικίτη και ιλλίτη, που αναπτύσσεται από τα 600 μέτρα ως τα 740-750 μέτρα. Τα χαρακτηριστικά ορυκτά της ζώνης αυτής συνυπάρχουν με ασβεστίτη, ανυδρίτη, γύψο, καλαζία και σιδηροπυρίτη.

στ) Προπλινή ζώνη. Η ζώνη αυτή χαρακτηρίζεται από την παρουσία επιδότου, που είναι και το κύριο ορυκτό εξαλλοιώσης της. Σε βάθος 750 έως 1100 μέτρων επικρατούν ατελώς κρυσταλλωμένοι, αλλοτριόμορφοι κρύσταλλοι επιδότου, που συνοδεύονται από χλωρίτη, σερικίτη, ασβεστίτη, καλαζία και σιδηροπυρίτη. Στο βάθος των 900 μέτρων εξαφανίζεται ο ανυδρίτης, που εμφανίζεται πάλι στα 1380 μέτρα.

Από τα 1100 ως τα 1380 μέτρα δεν παρατηρήθηκε συγκεκριμένη ζώνη στις εξαλλοιώσεις. Έντονη είναι η παρουσία χλωρίτη σε βάθος 1180 μέτρων, ο οποίος αντικαθιστά τον πυρόξενο του κερατίτη.



Σχήμα 4. Ζώνες εξαλλοιώσης της γεώτρησης N2 της Νισύρου.
Figure 4. Alteration zones of the N2 drilling in Nisyros Island.



ε) χώνη με σερικίτη + χαλαζία + χλωρίτη.
κύρια ορυκτά εξαλλοίωσης της είναι ο σερικίτης και ο χαλαζίας, δευτερεύοντα ο χλωρίτης και ο ανυδρίτης, σποραδικά εμφανίζεται ο ασβεστίτης, και έχει σαν κύρια χαρακτηριστικά την ομοιομορφία του υλικού, την έλλειψη ασβεστίου και την πλήρη εξαλλοίωση των αρχικών πετρωμάτων.

Σε βάθος 210 μέτρων παρατηρήθηκε η παρουσία μοντμοριλλονίτη συνοδευόμενου από ανυδρίτη, γύψο, χαλαζία και σιδηροπυρίτη. Η δημιουργία μοντμοριλλονίτη προϋποθέτει αλκαλικό έως ουδέτερο περιβάλλον (DEER et al 1980). Στην περίπτωση της Νισύρου το περιβάλλον σχηματισμού του μοντμοριλλονίτη θα πρέπει να ήταν όχι νο, όπως υποδεικνύει η έντονη παρουσία των θειϊκών ορυκτών. Η WIRSHING (1976, 77), έδειξε με πειραματικά δεδομένα ότι η άτα την επίδραση όξινων υδροθερμικών διαλυμάτων, πλούσιων σε H_2SO_4 σε ηφαιστειακά πετρώματα, σχηματίζεται μοντμοριλλονίτης σε περίπτωση που το υδροθερμικό διάλυμα δεν ανακυκλώνεται σε σύντομο χρονικό διάστημα (μη αποτελεσματική έκπλυση).

Σημαντική είναι η σχέση μεταξύ θειϊκών και ανθρακικών ορυκτών του ασβεστίου. Μέχρι τα 450 μέτρα επικρατούν τα θειϊκά ορυκτά ανυδρίτης, γύψος. Στο βάθος αυτό εμφανίζεται ο ασβεστίτης, η παρουσία του οποίου γίνεται εντονώτερη, όσο αυξάνεται το βάθος. Η ανταγωνιστική αυτή σχέση οφείλεται στη διαφορετική συμμετοχή ιόντων - $SO_4^{=}$ και - $CO_3^{=}$ στο διάλυμα, σε διάφορα βάθη, γεγονός που επηρεάζει το pH του διαλύματος.

Στοιχεία για τις θερμοκρασίες των ρευστών (BROWN, 1978) αναφέρουν ότι οι μέγιστες τιμές σε υδροθερμικά πεδία φθάνουν συνήθως τους $280^{\circ}C$ στον ταμιευτήρα και σπανιότερα υπερβαίνουν τους $300^{\circ}C$. Τα αποτελέσματα των θερμομετρήσεων ητά τη διάρκεια της γεώτρησης έδωσαν θερμοκρασίες της τάξης των $250^{\circ}C$ σε βάθος 1100-1200 μέτρων.

ΒΙΒΛΙΟΓΡΑΦΙΑ

- BOREAΔΗΣ, Γ. (1950): Τα θειούχα κοιτάσματα της Νισύρου. Αθημοσίευτη έκθεση Ι.Γ.Ε.Υ. Αθήνα
- DAVIS E.N. (1967) : Zur Geologie und Petrologie der Inseln Nisyros und Jali. Πρακτικά Ακαδημίας Αθηνών. T.42 p. 235-252.
- DI PAOLA G. (1974) : Volcanology and petrology of Nisyros island (Dodecanese Greece). Bull Volc.38-3 p. 944-987.

- DEER W.A., HOWIE R.A., ZUSSMAN J.(1980): Rock Forming Minerals, Longman p. 538.
- FISHER, R.Y., SHMINCKEL ,H.Y.(1983) : Pyroclastic Rocks, Spr. Verlag, p.472.
- GEOTHERMICA ITALIANA (1983): N2 Final Report,
- INNOCENTI. F., MANETTI.P, PECCERILO. A., POLI.G.(1979): Inner Arc volcanism in NW Aegean Arc: geochemical and geochronological data N.Jb.Min.Mh4 p. 145-158.
- IZAWA.E, YOSHIDA.T., SAITTO.R,(1978): Geochemical characteristics of hydrothermal alteration around the Fukazawa Kuroko deposit, Akita, Japan. Mining Geology 28, p. 325-335.
- ΚΑΝΑΡΗΣ.Ι. (1976) : Επί της αναζητήσεως βιομηχανικών ορυκτών εις τας νήσους Νίσυρον και Γυαλί. Αθήνα Ι.Γ.Μ.Ε. p.14.
- ΜΑΡΚΟΠΟΥΛΟΣ.Θ, ΣΤΑΜΑΤΑΚΗΣ.Μ.,ΜΑΡΑΝΤΟΣ .Ι.,(1986): Νεοσχηματισμός ορυκτών στο οθωμανικό πεδίο της Νισύρου. Ζων. Ελλ. Γεωλ. Εταιρ. (υπό εκτύπωση).
- MITROPOULOS.P, TARNEY .J.,SAUNDERS A.D.,MARSH.N.G.,(1987): Petrogenesis of Cenozoic volcanic rocks from the Aegean island arc. Journ.of Volc.and Geoth. Res. 32
- PECKET AN.(1969) : Volcanic rocks of the Dodecanese (Greece) Ph.D. th. Cambridge. p.298.
- WIRSCHING,U.(1976) : Experiments on hydrothermal alteration processes of rhyolitic glass in closed and open system N.Jb.Min.Mh. 5 p. 203-213.
- WIRSCHING, U.(1977): Experimental studies on hydrothermal alteration of feldspars to montmorillonite and Kaolinite minerals N.Jb.Min Mh.7. p.333-343.

Ευχαριστίες : Ευχαριστούμε τον κ. Γεώργιο Βήκο, γεωλόγο της ΔΕΗ για την παραχώρηση λεπτών τομών από τις γεωτρήσεις της Νισύρου.